

図-5 重錘衝撃力～時間関係

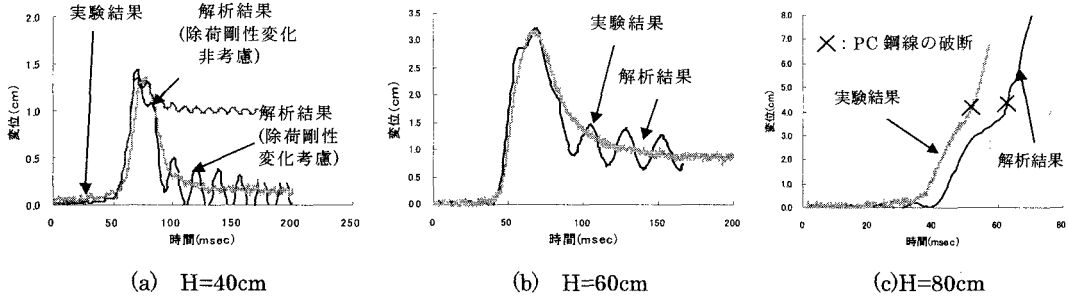


図-6 はり中央変位～時間関係

ここで、 $N_s$ 、 $H_s$  は降伏条件式の中で、アクティブになっている降伏条件へ法線外向きの係数マトリクス、および硬化係数ベクトル。

この弾塑性剛性マトリクスの作成にあたっては、図-3 に示す材料構成則を用いて、①断面分割法を用いて図-4 の破線に示すような除荷を考慮しない曲げモーメント～曲率関係を与える。②図-4 の曲率にはり高の 1/2 を乗じて接線角に変換する。③逐次に生じる除荷過程では前段階の残留変位の増加に伴って勾配が緩くなるように図-4 の実線のように順次除荷勾配を変化したものを与える。

#### 4. 計算結果と考察

図-5 に落下高  $H=40\text{cm}$ 、 $60\text{cm}$ 、 $80\text{cm}$  の重錘衝撃力～時間関係を示す。  $H=40\text{cm}$ 、 $60\text{cm}$  最大重錘衝撃力は約  $150\text{kN}$  であり、そのピークは連続した 2 段階となるためややフラットな形状を示している。これらの傾向およびその発生時刻について、解析は実験結果をほぼ完全にシミュレートしている。  $H=80\text{cm}$  では、実験のピーク値は  $155\text{kN}$  と  $170\text{kN}$  の 2 段階がかなり明瞭に分かれ後者の方が大きい。この点については解析も同様の結果となっているが、荷重の立ち上がる時間が実験よりも遅れている。これは、実験で緩衝材を繰り返し使用したため、その柔らかい変形領域が減少していたためと思われる。

図-6 には、 $H=40\text{cm}$ 、 $60\text{cm}$ 、 $80\text{cm}$  におけるはり中央点の変位の時刻歴を示す。ここで、実験のはり変位とは、はりの下縁の変位である。図-6(a)には、比較のために提案解析モデルとは異なって、除荷を初期剛性と同じに戻す場合の解析結果を示している。いずれの除荷モデルにおいても、変位のピーク値  $1.5\text{cm}$  までは、実験結果と良く一致している。しかし、実験では、この後に残留変位が  $0.2\text{cm}$  となるまで変位が戻るのに対し、初期剛性で戻るモデルでは残留変位が  $1.0\text{cm}$  となり実験値と全く一致しない。一方、提案モデルの除荷時の剛性変化を考慮する場合は良く一致している。図-6(b)、(c)に提案モデルのみの解析結果を示すが、実験結果を良くシミュレートできている。特に  $H=80\text{cm}$  の場合に実験では約  $4.1\text{cm}$  で PC 鋼線が破断して破壊するが、解析でも約  $4.2\text{cm}$  で破断しており破壊点も良く一致する。

図-7 に図-5 と 6 から得られる重錘衝撃力～変位関係を示す。解析では除荷領域の高周期振動が実験よりも大きく表れるため、滑らかな復元が表現できていないが概ね良く一致している。

#### 参考文献

- 1) 中田吉彦, 榎谷浩, 梶川康男, 熊谷貴秀; 重錘衝突による鉄筋コンクリートはりの衝撃特性に関する実験的研究, 構造工学論文集 vol.46A, pp1831~1842, 2000 年 3 月

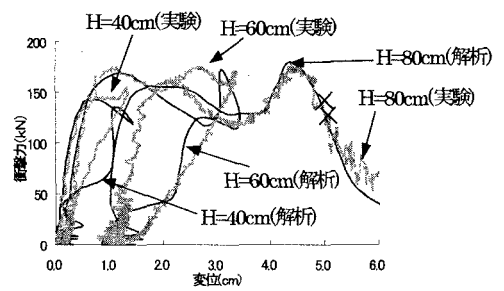


図-7 重錘衝撃力～はり中央点変位関係